

建設省 土木研究所 正員 須賀堯三  
〃 〃 沢谷武治

## 1. まえがき

模型を歪めるとは、実物に対し模型を幾何学的に相似形につくらないことである。この歪模型について、我々が行なった若干の実験的検討結果を以下に述べてみたいと思う。

現在、鹿島試験所で行なわれている河川の模型実験は、縮尺 $1/100$ 以上の大縮尺模型をつかって行なわれているが、実験には広い場所と多くの労力、費用を用し、1ケース当たり非常に大がかりな実験となっている。もし、これらの模型実験がさらにコンパクトな形で行ない得らなら、場所、労力、時間そして費用も少なくすみ経済的である。

しかし、模型を小さくすることは水深が十分得られないことになり、次のような問題を生むことになる。  
 1) 亂流が層流となることがある。  
 2) 粘性が大きくなる。  
 3) 水面の不規則な上下運動が影響する。  
 4) 測定器の精度。  
 5) 移動床で砂礫の移動が少なくその傾向がつかみにくい。等である。  
 これらの問題を防ぐため模型を歪めることが必要となってくる。また、現在のように大縮尺の模型でも $1.5 \sim 2.0$ 程度の歪模型とせざるを得ない状態であり、歪による影響、あるいはどの程度まで模型を歪め得るかといった研究を行なうことは、模型実験を行なう上で非常に重要な課題である。

そこで、我々は表-1に示す4種の縮尺をもつた実際の移動床模型（信濃川模型）を使って、河床変動、流況、水位等について、局所的（やん曲部の渦、河床の法面勾配等々）なものよりむしろ大きく全体的傾向の相似性について歪の影響を考えてみた。

## 2. 実験

実験は表-1に示す4種の縮尺をもつた移動床模型を使って行なった。ただし、模型自体はNo.1、4の縮尺のもの2種（No.1の模型は信濃川 $13.0 \sim 23.0$ K区间、No.4の模型は $11.0 \sim 29.5$ K）であり、No.2はNo.1の模型と、No.3はNo.4の模型をつかって行なった。それゆえ、No.2、3については堤防法勾配のみ正しく縮尺通りとはなっていない。

また、実験に使用した河床材料はNo.1、2では $60\%$ 粒径 $0.23\text{mm}$ の砂、No.3、4では $60\%$ 粒径 $0.21\text{mm}$ の石炭粉である。さらに、実験No.4では流水の勢力を人為的に減ずる試みとして、 $19.5\text{K}$ より上流約 $20\text{m}$ に金網（網目 $25\text{mm}$ 、孔 $2.0\text{mm}$ ）を $20\text{cm}$ 間隔に横断方向は左右岸堤防全面、深さ方向は河床より水面上に必ず出るまでとした。これによる流砂に対する阻害の程度はわずかであって無視し得る。

模型 No	縮 尺 比		歪 度 $d$	河床 材料
	X	h		
1	100	100	1.0	砂
2	"	70	1.4	"
3	500	200	2.5	石炭粉
4	"	100	5.0	"

表-1 実験ケース

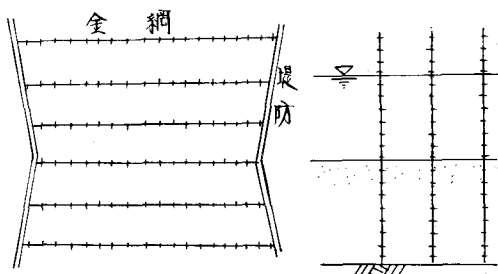


図-1 金網取付け状況

### 3. 水位について

雨水路においては一般にフルードの相似が成り立つとして諸物理量の縮尺が求められている。したがって、流れの相似性を保つためにはフルード数の現地・模型比が常に1となることが必要である。

今、フルード則に基づく流量を流した時、現地と各縮尺別の平均的フルード数とを示すと表-2のようになる。この表で、前4つは現地流量  $6000 \text{ m}^3/\text{sec}$  の時の値だが、残り1つだけは  $3500 \text{ m}^3/\text{sec}$  の時の値である。

現地	$X=1/100$ $h=1/100$ $d=1.0$	$X=1/100$ $h=1/10$ $d=14$	$X=1/500$ $h=1/500$ $d=2.5$	$X=1/50$ $h=1/50$ $d=5.0$
0.483	0.251	0.266	0.181	0.473

表-2 フルード数

この表をみると、砂連の発生と金網の粗度によりいずれの縮尺ケース共にフルードの相似を満足しているとは言えずも言えず、前3つの縮尺ケースではフルード数が小さすぎている。

では、フルード数を調節し、いかなる縮尺の模型でも流れを相似にするには何を考えたらよいか。今、フルード数を求める式に Manning 式を併用するとし  $B \gg h$  として  $R \approx h$  とおくと

$$Fr = \frac{V}{\sqrt{g \cdot h}} = \frac{1}{h^{1/3}} h^{1/6} \cdot I^{1/2} \quad \dots \dots (1)$$

となり、フルード数は粗度係数、水深によって調節できることがわかる。そして、粗度係数の変化は水位変化としてうなづくことができるので、図-2に同一条件のもとでの現地実験水位を示したが、いずれのケースも現地水位に対し高くない。このことは、いずれのケースも現地に比し粗度係数が大となっていることを表している。そして式(1)から他の要素がわからぬとすれば、粗度係数を小にすればフルード数は増す。またそのことは、水位を低下させると効果ももつていい。

以上のことから、表-2のうち前3つの縮尺ケースについては、フルード数を現地に近づける方向で調節可能(模型をさらに歪めることにより水深を増す。同時に河床摩耗による損失を減らす。)であることがわかる。また最後のケースで、水位が現地に比し高いにもかかわらず、フルード数がかなり大きい値を示しているのは、平面縮尺の同じケースとも比較してみるとことにより、砂連の影響の大きい実験ケースでは、有効水深(実際の流れに貢献している水深)のとり方として、単純に  $A/B$  で求めることの問題点を指摘しているといえよう。

前記のように、模型を歪めることによりフルード数をあわせることができると述べたが、これは歪の効果の少ない場合においてすみ得ることであり、流れに強く影響しているわん曲部のある模型等においては歪めない方が良策であることは当然である。この場合には、河床材料を変える、あるいは流量を調節して河床摩耗を調節したり、模型全体を傾ける(歪ませるという意味ではなく勾配だけを変える。)などした方がよいと考えられる。

また、歪模型では形状損失も異なるので、蛇行の局所洗掘の激しい場合、あるいは構造物が問題の場合などでは、この点の留意が必要であろう。

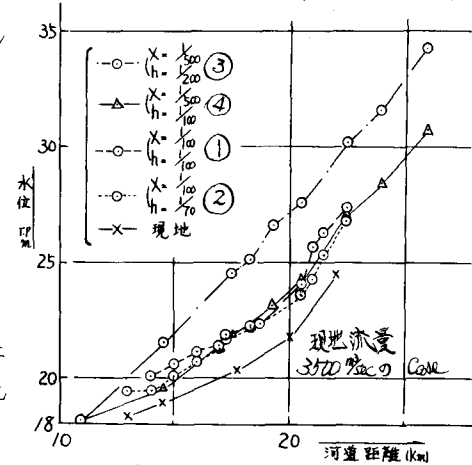


図-2 縮尺別水位図

#### 4. 流況について

流れの状況については、大縮尺模型の2ケースではその差はあまりみられず、またこの流況は現地流況にはほぼ一致していたが、小縮尺模型の流況と比較した場合その差が図-3のように出た。つまり、大縮尺模型の流況に比し小縮尺模型の流況は若干直線性をみせていた。

このような現象のおこった要因としては、模型を平面的に縮少したが、それに

現地 $H/B$	$X = \frac{1}{100}$ $h = \frac{1}{100}$ $d = 1.0$	$X = \frac{1}{100}$ $h = \frac{1}{100}$ $d = 1.4$	$X = \frac{1}{500}$ $h = \frac{1}{200}$ $d = 2.5$	$X = \frac{1}{500}$ $h = \frac{1}{100}$ $d = 5.0$
0.0066	0.0049	0.0072	0.0167	0.0174

表-3 水深(H)/川巾(B)

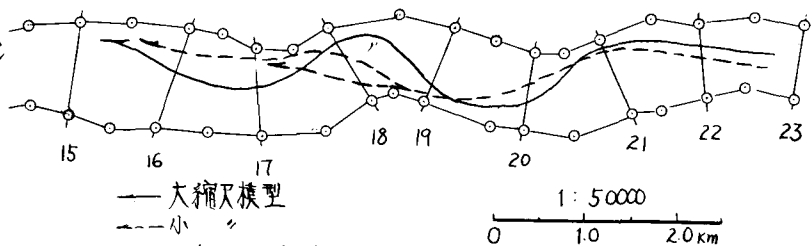


図-3 模型別流況図

対し水深が同じ割合で縮少せず表-3に示すように  $h/B$  に差が生じたこと。これはわん曲部のらせん流の強さに影響を与えている。次に歪度が大になり勾配が急になるとことにより、水流自体の持つ運動エネルギーが異なってきたこと。等が考えられる。

#### 5. 河床変動について

次に河床変動についてその影響を考えてみる。実験に使用した河床材料は図-4に示す粒度分布をもつた砂(大縮尺模型)と石炭粉(小縮尺模型)であり、その限界掃流力は岩垣式によると砂 2.31 dyng/cm 石炭粉 0.87 dyng/cm である。

河床変動に影響をおよぼす要素として掃流力および補給砂量を考えるが、河床材料の限界掃流力との比として現地および各縮尺ごとに平均的値を示してみると表-4のようになり、模型を歪めるごとに  $\tau_0/h$  が大きくなり現地現象と異なってきていくのがわかる。これは当然の結果であり、限界掃流力の同じ河床材料のもとでは、模型を歪めることにより  $\tau_0 = P g h I e$  より水深およびエネルギー勾配が大になり、 $\tau_0$  は大となる。さらに、現地の実験ケースでは小流量の河床変動を対象としていたため、歪度の大きい模型に限界掃流力の小さい河床材料を使用しているので、 $\tau_0/h$  はより大きな値となつた。この  $\tau_0/h$  の相異が河床変動に影響していることを示したのが図-5に示す信濃川模型の縮尺別河床変動図である。河床変動を論ずる場合には、その時間縮尺をいくらにとるかといった重要な問題もあるのであるが、ここでは、表-5にフルードの相似、流砂量の相似から土研式で求めた時間縮尺をあげる。

現地 $\tau_0/h$	$X = \frac{1}{100}$ $h = \frac{1}{100}$ $d = 1.0$	$X = \frac{1}{100}$ $h = \frac{1}{100}$ $d = 1.4$	$X = \frac{1}{500}$ $h = \frac{1}{200}$ $d = 2.5$	$X = \frac{1}{500}$ $h = \frac{1}{100}$ $d = 5.0$
0.921	1.054	3.265	7.565	11.298

表-4  $\tau_0/h$

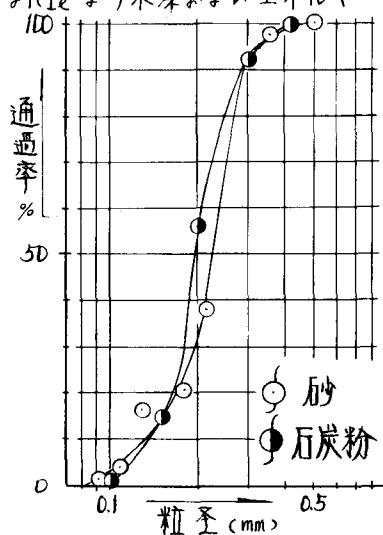


図-4 粒度曲線

にとどめ。（ただし、土研式を使って時間縮尺を求める場合、 $F$  の値は現地模型で等しいとした。）出てきた結果を比較論するにとどめる。

つまり、大縮尺模型で歪度の小さい場合には前掲の表-4に示すように  $T_0/h_0$  が非常に小さく河床変動が少ない。しかし、小縮尺模型とすると河床の変動はかなり顕著であり、その傾向が明確に表わされている。ただし、18.0 K ～ 19.0 K 付近で大小縮尺模型の間に洗掘位置の相異があるのは、流況の項でも述べた

	フルード	土研式
$X = 1/100$ $h = 1/100$	10.0	10.0
$X = 1/100$ $h = 1/70$	11.95	20.41
$X = 1/500$ $h = 1/200$	35.36	461.18
$X = 1/500$ $h = 1/100$	50.0	1844.7

表-5 時間縮尺

ように歪めた模型の方が直線性ももった流況を示していたからであると思われる。

このことから、ゆん曲部の深掘れの位置あるいは洗掘について検討する実験において大きな歪度をもった実験を行なった場合、その解析にあたっては上記のような効果を考慮する必要がある。

## 6. あとがき

この稿では、歪模型実験を行なう場合の歪の影響について、多くの要素がかみあつて十分な解析ができなかつたが、小縮尺歪模型実験の問題点について述べた。今後は実験の目的によって歪模型に対する考え方を明確にする必要があり、さらにはこの実験を行なってゆきたいと考えている。

図-5 河床変動図

